

© 1994 г.

ОБ ОПТИЧЕСКОЙ АКТИВНОСТИ ПОЛУПРОВОДНИКОВЫХ КРИСТАЛЛОВ CdSnAs_2 И CdGeP_2

P.K. Карымшаков

Киргизский государственный университет,
720000, Бишкек, Кыргызстан

(Получена 11 мая 1993 г. Принята к печати 10 мая 1994 г.)

Предлагается методика определения оптической активности кристаллов точечной группы $\bar{4}2m$. Установлено, что для полупроводниковых кристаллов CdSnAs_2 и CdSeP_2 удельная оптическая активность подчиняется закону Био $\rho_0 = b/\lambda^2$. Постоянная B равна 3.48 и 0.32 град·мкм для CdSnAs_2 и CdGeP_2 соответственно.

В работе также найдена разность главных показателей преломления обыкновенного и необыкновенного лучей в кристалле CdGeP_2 .

Известно, что кристаллы точечной группы $\bar{4}2m$ [1], к которым относятся тройные алмазоподобные соединения $A^{II}B^{IV}C_2^V$, оптически однородны и вращение плоскости поляризации при распространении света вдоль оптической оси у этих кристаллов должно отсутствовать. Оптическая активность у кристаллов класса $\bar{4}2m$ возможна только при распространении света в направлениях, в которых имеется также и двойное лучепреломление.

В данной работе сделана попытка оценить оптическую активность в CdSnAs_2 и CdGeP_2 , относящихся к точечной группе $\bar{4}2m$.¹

В работе [3] при изучении двойного лучепреломления в CdSnAs_2 было обнаружено, что спектр коэффициента пропускания представляет собой интерференционную картину, в которой амплитуды максимумов уменьшаются с уменьшением длины волны. Поскольку такое уменьшение не влияет на определение разности главных показателей преломления обыкновенного (n_{\perp}) и необыкновенного ($n_{||}$) лучей, это явление не изучалось вообще. Исследования последних лет показали,

¹ В работе [2] сообщалось, что величина естественной активности в исследованных CdSnAs_2 значительно больше, чем у кварца и даже теллура. В этой работе методика измерения оптической активности ошибочна, как показали контрольные измерения на тех же образцах, любезно предоставленных авторами [2].

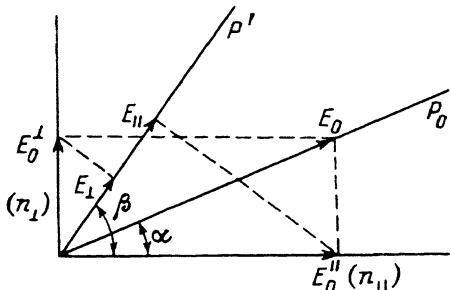


Рис. 1. Схема, поясняющая вывод (2).

Что изменение коэффициента пропускания связано с наличием оптической активности в кристалле.

Чтобы оценить влияние оптической активности на двойное лучепреломление обратимся к рис. 1. Поместим между двумя поляризаторами с плоскостями поляризации P_0 и P' плоскопараллельную пластину из одноосного кристалла. Будем считать, что луч, пройдя через поляризатор P_0 , падает нормально на поверхность образца.

Рассмотрим случай, когда пластина вырезана таким образом, что ее поверхность параллельна оптической оси c и плоскость поляризации P_0 составляет угол α с оптической осью кристалла. Световую волну с амплитудой электрического вектора E_0 можно разложить на две составляющие: одну, поляризованную параллельно оптической оси ($E_0^{\parallel} = E_0 \cos \alpha$), другую — перпендикулярно ($E_0^{\perp} = E_0 \sin \alpha$). Эти две волны на выходе пластины могут быть представлены как

$$E^{\parallel} = E_0^{\parallel} \exp(i\omega t - \Gamma_{\parallel} d),$$

$$E^{\perp} = E_0^{\perp} \exp(i\omega t - \Gamma_{\perp} d),$$

где $\Gamma_{\parallel, \perp} = i\omega(n_{\parallel, \perp} - ik_{\parallel, \perp})s/c$ — вектор распространения волны, $n_{\parallel, \perp}$ и $k_{\parallel, \perp}$ — показатель преломления и коэффициент экстинкции для необыкновенного и обыкновенного лучей соответственно, d — толщина образца, ω — частота излучения, s — скорость распространения света в вакууме, s — единичный вектор, совпадающий с вектором Умова-Пойнтинга.

Если на пути такого луча поставить анализатор, плоскость поляризации которого P' составляет угол β по отношению к оптической оси, компоненты амплитуды электрического вектора после прохождения через анализатор определяются как $E_{\parallel} = E_0 \cos \alpha \cos \beta$, $E_{\perp} = E_0 \sin \alpha \sin \beta$, в результате чего электрическое поле световой волны на выходе анализатора можно представить как $E = E_{\parallel} + E_{\perp}$, $E = E_0 \{ \exp[i\omega t - (n_{\parallel} - ik_{\parallel})d/c] \cos \alpha \cos \beta + \exp[i\omega t - (n_{\perp} - ik_{\perp})d/c] \sin \alpha \sin \beta \}$, а для интенсивности света находим

$$I = EE^* = I_0 \exp(-2k\omega d/c) \left\{ \cos^2 \alpha \cos^2 \beta + \sin^2 \alpha \sin^2 \beta + \sin \alpha \cos \alpha \sin \beta \cos \beta [\exp(2\pi id\Delta n/\lambda) + \exp(-2\pi id\Delta n/\lambda)] \right\}, \quad (1)$$

где $k \simeq k_{\parallel} \simeq k_{\perp}$, $\Delta n = n_{\parallel} - n_{\perp}$, I_0 — интенсивность света в падающей волне. (Если оптическая ось составляет угол φ с поверхностью образца, то следует произвести замену [3] Δn на $\Delta n_{\varphi} = \Delta n \cos \varphi$). Отсюда получается выражение для оптического пропускания кристалла

$$T = \frac{I}{I_0} = \exp \left(-\frac{4\pi kd}{\lambda} \right) \left[\cos^2(\alpha - \beta) + \frac{1}{2} \sin 2\alpha \sin 2\beta \left(\cos \frac{2\pi d \Delta n}{\lambda} - 1 \right) \right]. \quad (2)$$

Формула (2) при $k = 0$ переходит в формулу А.Б.Шубникова [4], что и следовало ожидать.

Предположим теперь, что образец обладает естественной оптической активностью и на толщине образца d плоскость поляризации повернется на угол $\rho = \rho_0 d$, где ρ_0 — удельное вращение плоскости поляризации. Тогда угол α в зависимости от направления вращения плоскости поляризации следует заменить на $\alpha \pm \rho$.

Условия эксперимента можно выбрать так, чтобы $\alpha = \beta = 45^\circ$, тогда амплитуды электрических векторов обоих лучей, вышедших из пластиинки, будут одинаковыми (предполагается, что дихроизма нет). При этих условиях формула (2) примет вид

$$T = \exp(-4\pi kd/\lambda) \left[\frac{\cos 2\rho \cos(2\pi d \Delta n/\lambda) + 1}{2} \right]. \quad (3)$$

Как видно, зависимость коэффициента пропускания от длины волны модулируется функцией $\cos 2\rho$, спадает как $\exp(-4\pi kd/\lambda)$.

Результаты эксперимента и их обсуждение

В полупроводниках коэффициент поглощения на свободных носителях далеко за краем поглощения не зависит от ориентации электрического вектора относительно оптической оси и очень мал, т.е. $k \simeq 0$. Это дает возможность опустить экспоненциальный множитель в (3). Тогда получаем зависимость

$$2\rho = \arccos \left[\frac{2T - 1}{\cos(2\pi d \Delta n/\lambda)} \right], \quad (4)$$

которую сравнительно легко проверить экспериментально.

Измерения проводились на экспериментальной установке, аналогичной описанной в работе [2].

Для эксперимента использовался плоскопараллельный образец CdSnAs₂ толщиной $d = 460$ мкм, угол между тетрагональной осью и поверхностью составлял $\varphi = 50.5^\circ$. Результаты эксперимента приведены на рис. 2 (точки). Найденное из периода интерференции значение Δn_{φ} оказалось равным 0.086 и почти не зависело от длины волны. На основании формулы (4) по значениям T в интерференционных максимумах и минимумах можно определить экспериментальные значения ρ . Экспериментальную зависимость $2\rho(\lambda)$ для CdSnAs₂ приведенную на рис. 3 (точки 1), можно описать с использованием закона дисперсии Био

$$\rho_0 = B/\lambda^2, \quad (5)$$

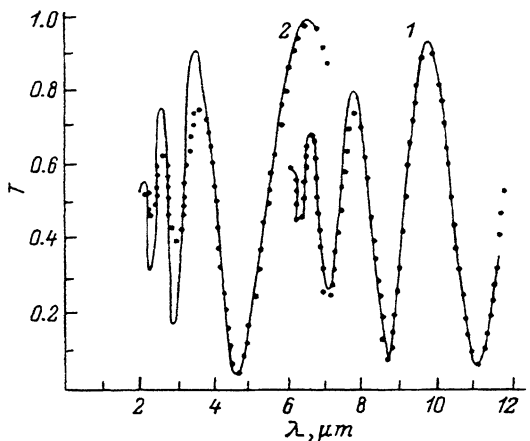


Рис. 2. Спектры оптического пропускания CdSnAs_2 (1) и CdGeP_2 (2): точки — эксперимент, сплошные линии — расчет соответственно по (6) для CdSnAs_2 и по (7) для CdGeP_2 .

где $B = 3.48$ град·мкм. Таким образом, из (3) с учетом (5) получим

$$T = \frac{\cos(2B/\lambda^2) \cos(2\pi d\Delta n/\lambda) + 1}{2}. \quad (6)$$

Значения T , рассчитанные по формуле (6), в зависимости от длины волны показаны на рис. 2 (сплошная линия). Видно, что расчет и эксперимент в пределах ошибки удовлетворительно согласуются.

Аналогичный эксперимент проведен для образца CdGeP_2 толщиной $d = 610$ мкм, вырезанного в плоскости (110). В этом случае оптическая ось c была параллельна поверхности. Установлено, что разность главных показателей преломления кристалла хорошо описывается формулой $\Delta n = 0.011 + D/\lambda^2$, где $D = 0.015$ мкм². Оптическая активность для CdGeP_2 подчиняется закону (6) со значением $B = 0.32$ град·мкм. Таким образом, для CdGeP_2 расчетная формула для оптической прозрачно-

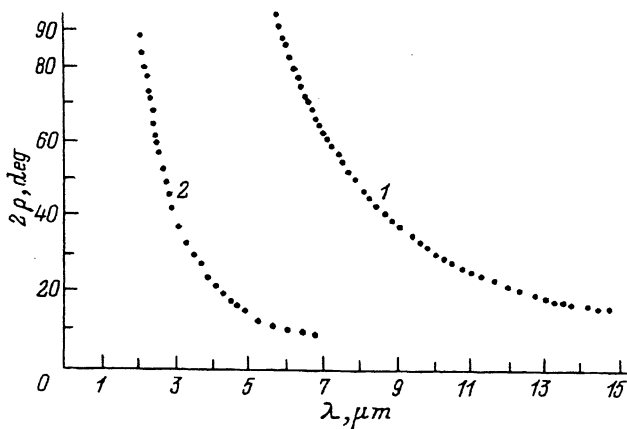


Рис. 3. Спектральные зависимости углов поворота плоскости поляризации в CdSnAs_2 (1) и CdGeP_2 (2), полученные из эксперимента с использованием (3).

сти имеет вид

$$T = \frac{1}{2} \left[\cos \frac{2d\pi}{\lambda} \left(0.011 + \frac{0.015}{\lambda^2 [\text{мкм}^2]} \right) \cdot \cos \frac{2dB}{\lambda^2} + 1 \right]. \quad (7)$$

Расчетная кривая, полученная по формуле (7) для CdGeP₂, также приведена на рис. 2. Как видно, зависимости коэффициента прозрачности от длины волны, рассчитанные по формулам (6) и (7), вблизи края поглощения для CdGeP₂ немного отличаются. Видимо, в этой области спектра нельзя пренебречь различием k_{\parallel} и k_{\perp} .

Таким образом, в CdSnAs₂ и CdGeP₂ удельная оптическая активность следует закону дисперсии Био (5), известному для других материалов в видимой области спектра.

Заключение

Разделение оптической активности и двойного лучепреломления в кристаллах точечной группы 42m позволило установить, что удельная оптическая активность следует зависимости $\rho_0 = B/\lambda^2$ для CdSnAs₂ и CdGeP₂; значения B оказались равными 3.48 и 0.32 град·мкм соответственно. Разность главных показателей преломления в CdGeP₂ описывается выражением $\Delta n = 0.011 + 0.015/(\lambda^2 [\text{мкм}]^2)$.

Список литературы

- [1] Дж. Най. *Физические свойства кристаллов*. (М., Мир, 1967).
- [2] Г.А. Сухарулидзе, В.М. Тучкевич, Ю.И. Уханов, Ю.В. Шмарцев. ФТП. 8, 1159 (1966).
- [3] Р.К. Карымшаков, Ю.И. Уханов, Ю.В. Шмарцев. ФТП. 4, 362 (1970).
- [4] А.В. Шубников. *Оптическая кристаллография*. (М.-Л., 1950).
- [5] Р.К. Карымшатов. Автореф. канд. дис. (Ташкент, 1971).

Редактор Л.В. Шаронова

